

Émergence de phénomènes collectifs en dynamique des populations

↳ On vu l'équation de la Chaleur sur \mathbb{R} :

$$\begin{cases} u_t = u_{xx} & t > 0, \quad x \in \mathbb{R}, \\ u|_{t=0} = u_0. & x \in \mathbb{R}. \end{cases}$$

$$G(t,x) = \frac{1}{\sqrt{4\pi t}} e^{-\frac{x^2}{4t}}$$

↳ La (bonne) solution classique s'écrit $u(t,x) = [G(t,\cdot) * u_0](x)$

$$= \int_{y \in \mathbb{R}} \frac{1}{\sqrt{4\pi t}} e^{-\frac{(x-y)^2}{4t}} u_0(y) dy \quad (13)$$

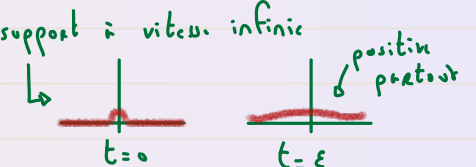
↳ Quelques conséquences:

1) Si $u_0(n) \geq 0 \quad \forall n \in \mathbb{R}$ alors $u(t,n) \geq 0 \quad \forall t > 0 \quad \forall n \in \mathbb{R}$.

$\sum_i u_0(n) \geq 0 \quad \forall n \in \mathbb{R}$ alors $u(t,n) > 0 \quad \forall t > 0 \quad \forall n \in \mathbb{R}$.
ET $u_0 \not\equiv 0$

La propagation du support à vitesse infinie

↳ Conséquence de la forme explicite (13)



2) (Principe de comparaison) En conséquence du premier point (poser $u = \bar{u} - u_0$)

les sol. qui émergent de

• Si: $u_0(n) \leq \bar{u}_0(n) \quad \forall n \in \mathbb{R}$ alors $\underline{u}(t,n) \leq \bar{u}(t,n) \quad \forall t > 0, \forall n \in \mathbb{R}$

• Si: $u_0(n) \geq \bar{u}_0(n) \quad \forall n \in \mathbb{R}$ alors $\underline{u}(t,n) \geq \bar{u}(t,n) \quad \forall t > 0, \forall n \in \mathbb{R}$
ET $u_0 \not\equiv \bar{u}_0$.

Separation stricte! Appliquer le PC 2 fois

↳ Note: La comparaison donne l'unicité: si u et w deux sol portant de u_0 , alors $\begin{cases} u \leq w \\ w \leq u \end{cases}$ donc $u = w$...

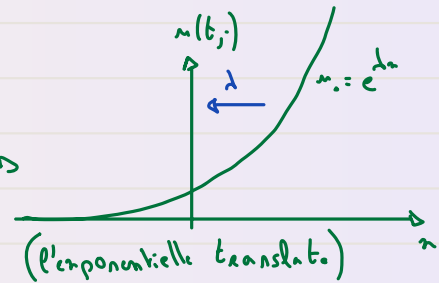
3) On a pris $m_0 \in L^1(\mathbb{R})$ à priori pour utiliser Fourier

mais on peut mettre des m_0 éventuellement non-intégrables ($m_0 = \text{constante}$; $m_0(n) = e^{\lambda n}, \dots$) puisque la décroissance rapide de la gaussienne aide à faire converger l'intégrale!

$$[m_0 \equiv h] \Leftrightarrow [m(t, n) \equiv h]$$

$$[m_0 = e^{\lambda n}] \Rightarrow [m(t, n) = e^{\lambda(n + \lambda t)}]$$

$$\hookrightarrow \text{En effet } m_r - m_{rn} = e^{\lambda(n + \lambda r)} - e^{\lambda(n + \lambda t)} = 0$$

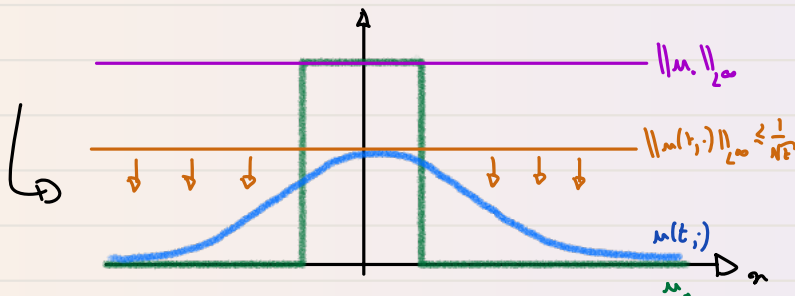


\hookrightarrow On peut aussi mettre $m_0(n) = e^{\lambda n}$ dans la convolution!

\hookrightarrow Dispersion: Si $m_0 \in L^1(\mathbb{R}) \cap L^\infty(\mathbb{R})$,

$$|m(t, r)| \leq \int_{y \in \mathbb{R}} |G(t, n-y)m_0(y)| dy \leq$$

$$\left\{ \begin{array}{l} \|m_0\|_{L^\infty} \cdot \underbrace{\int_{y \in \mathbb{R}} G(t, n-y) dy}_{=1} = \|m_0\|_{L^\infty} \\ \|G(t, \cdot)\|_{L^\infty} \cdot \|m_0\| = \frac{C}{\sqrt{Nt}} \end{array} \right.$$



$$\frac{1}{\sqrt{Nt}} e^{-\frac{n^2}{Nt}} = 1 \text{ aux max}$$

\hookrightarrow Convergence uniforme vers 0!

\hookrightarrow Étalement de la densité

$$\hookrightarrow \text{En dimension N: } G(t, n) = \frac{1}{(h\pi t)^{\frac{N}{2}}} e^{-\frac{|n|^2}{h\pi t}} \quad \Rightarrow \quad \|m(t, r)\|_{L^\infty} \leq \frac{1}{t^{\frac{N}{2}}}$$

5) Conservation de la masse :

$$\begin{aligned}
 & \int_{n \in \mathbb{R}} \left(\int_{y \in \mathbb{R}} G(t, n-y) m.(y) dy \right) dn = \int_{y \in \mathbb{R}} \underbrace{\left(\int_{n \in \mathbb{R}} G(t, n-y) dn m.(y) dy \right)}_{\text{fusion}} \\
 & \qquad \qquad \qquad y = n-y \\
 & = \int_{y \in \mathbb{R}} \underbrace{\left(\int_{z \in \mathbb{R}} G(t, z) dz m.(y) dy \right)}_{=1} \\
 & = \int_{y \in \mathbb{R}} m.(y) dy \quad (\text{La masse est conservée!})
 \end{aligned}$$

3) Équation de la Chaleur en présence de bord

a) Chaleur en 1/2 espace et introduction des différentes conditions de bord

On a vu que $m_t = m_{nn}$ sur \mathbb{R} préserve la masse de la population.

Les Résultats maintenant :

$$m_t = m_{nn} \quad t > 0, \quad n > 0$$

Dérivée d'ordre 1 en temps \rightarrow 1 degré de liberté à finir

\rightarrow Besoin d'une donnée initiale

Dérivée d'ordre 2 en espace

\hookrightarrow 2 degrés de liberté à finir

\hookrightarrow Besoin de 2 conditions de bord

\hookrightarrow Sur \mathbb{R} , on imposait $m(t, \pm\infty) = 0$

On impose donc naturellement

$$m(t, +\infty) = 0 \quad \text{et on va donner une condition de bord}$$

en $n=\infty$ pour finir tous les degrés de liberté.

$$\left\{
 \begin{array}{l}
 m_t = m_{nn} \quad t > 0, \quad n > 0, \\
 m|_{t=0} = m_0 \quad t = 0, \quad n > 0, \\
 \text{CONDITION DE BORD} \quad t > 0, \quad n = 0.
 \end{array}
 \right.$$

↳ Regardons la masse : $M(t) := \int_{n=0}^{\infty} m(t, n) dn$

↳ On voudrait une BC pour préserver la masse :

$$0 = M'(t) = \int_{n=0}^{\infty} m_t(t, n) dn = \int_{n=0}^{\infty} m_n(t, n) dn \stackrel{(15)}{=} \underbrace{m_n(t, \infty)}_{=0} - m_n(t, 0)$$

Donc pour préserver la masse, il faut : $-m_n(t, 0) = 0$ *g Condition de Neumann... (homogène car RHS = 0)*

↳ La quantité $-m_n(t, 0)$ pilote la variation de masse dans le système :

$$\begin{cases} -m_n(t, 0) > 0 \Leftrightarrow m' > 0 \Leftrightarrow M' \\ -m_n(t, 0) < 0 \Leftrightarrow m' < 0 \Leftrightarrow M' \end{cases}$$

On appelle $-m_n(t, 0)$ le FLUX ENTRANT.

↳ En dimension N, la formule de Green (ipp de dimension supérieures) donne à la

place de (15) : $\int_{\Omega} \Delta_m dn = \int_{\partial\Omega} \vec{\partial}_n m \cdot \vec{n} d\sigma$
mesure de surface

En dim 2 : $\vec{\nabla}_m \cdot \vec{n} = \begin{pmatrix} m_x \\ m_y \end{pmatrix} \cdot \begin{pmatrix} n_x \\ n_y \end{pmatrix}$
produit scalaire vecteur normal unitaire sortant

↳ Ce qui donne bien, en 2D :

$$\vec{\partial}_n m = m_n \cdot (-1) = -m_n$$



↳ À la place de Neumann, on peut dire que le flux sortant (moins le flux entrant) est proportionnel à la densité en $n=0$ (une certaine

= proportion des individus "s'échappant" du domaine)

$$+ \alpha_n(r, \cdot) = \alpha u(t, \cdot) \Leftrightarrow -\alpha_n(r, \cdot) = -\alpha u(t, \cdot) \text{ ; Conditions de Robin}$$

↑
intensité de source ($\alpha=0 \rightarrow$ Neumann)

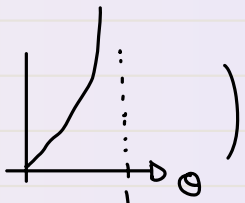
$$\Leftrightarrow -\frac{\alpha_n(t, \cdot)}{\alpha} = u(r, \cdot) \quad (16)$$

↳ On peut ensuite envoyer $\alpha \rightarrow +\infty$ pour éjecter systématiquement les individus du domaine : en passant formellement à la limite dans (16) :

$$u(r, \cdot) = 0 \text{ ; Conditions de Dirichlet}$$

↳ Pour mettre les 3 conditions ensemble, on peut prendre les conditions de Robin et poser $\alpha = \frac{\Theta}{1-\Theta}$. Alors α parcourt \mathbb{R}_+ $\Leftrightarrow \Theta$ parcourt $[0, 1]$

(Dès lors on copie bien tous les $\alpha > 0$ en faisant g-



$$\text{Et alors } -\alpha_n(r, \cdot) = \frac{\Theta}{1-\Theta} u(r, \cdot)$$



$$(1-\Theta)(-\alpha_n(r, \cdot)) + \Theta u(r, \cdot) = 0 \quad (\Theta \in [0, 1])$$

↳ Robin "interpolate" entre Neumann et Dirichlet :



↳ Résolution de la Chaleur sur \mathbb{R}^+ avec Conditions de Neumann

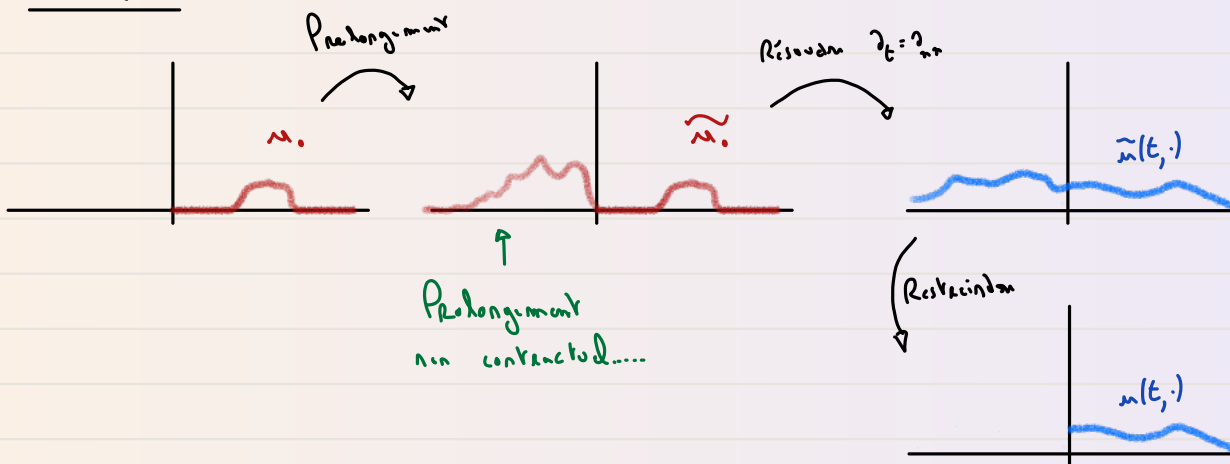


On ne peut pas utiliser Fourier (en tout cas, pas directement)

↳ Ideas Puisqu'on sait résoudre la Chaleur sur \mathbb{R} tout entier, essayons de prolonger m_0 intelligemment sur \mathbb{R} en \tilde{m}_0 .
de sorte que la solution \tilde{m} partant de \tilde{m}_0 vérifie que $m := \tilde{m}|_{t>0}$ est la solution du problème de Cauchy en question, ici:

$$(17) \quad \begin{cases} m_t = m_{xx} & t > 0, x > 0, \text{ (Eq intérieure)} \\ -m_x|_{x=0} = 0 & t > 0, x = 0 \quad (\text{BC}) \\ m|_{x=0} = m_0 & t = 0, x > 0, \quad (\text{IC}) \end{cases}$$

Dans l'idée:



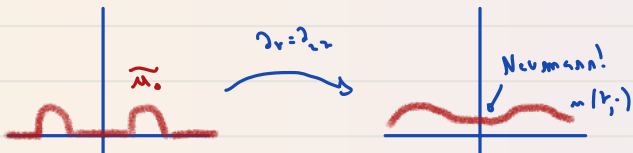
↳ Pour Neumann, le prolongement par scission une bonne idée?

↳ On a vu précédemment que le processus de la chaleur n'a pas de direction privilégiée; notamment si,

$$[m, \text{ pair}] \Leftrightarrow [m(t, \cdot) \text{ pair } \forall t > 0]$$

↳ On a vu précédemment que le processus de la chaleur est régularisant (héritage de la régularité du Noyau gaussien): $m(t, \cdot) \in \mathcal{C}^2(\mathbb{R})$ (c'est suffisant ici...)

En utilisant Taylor, on a donc $m_n(t, 0) = \frac{m(t, h) - m(t, -h)}{2h} + o_1(1)$



$$= \frac{m(t, h) - m(t, -h)}{2h} + o_1(1) = o_1(1) \xrightarrow{h \rightarrow 0} 0$$

↳ Cherchons une expression pour la solution: Pour $\tilde{m}_n(z) = \begin{cases} \text{prolongement par} \\ \text{de } m_n \end{cases}(z)$

$$= \begin{cases} m_n(z) & z > 0 \\ m_n(-z) & z < 0, \end{cases}$$

$$\text{on a: } \tilde{m}_n(t, z) = \int_{y \in \mathbb{R}} G(t, z-y) \tilde{m}_n(y) dy$$

$$= \int_{y=-\infty}^0 G(t, z-y) \tilde{m}_n(y) dy + \int_{y=0}^{\infty} G(t, z-y) \tilde{m}_n(y) dy$$

$$= \int_{y=-\infty}^0 G(t, z-y) m_n(-y) dy + \int_{y=0}^{\infty} G(t, z-y) m_n(y) dy$$

$y = -y$ $dy = -dy$

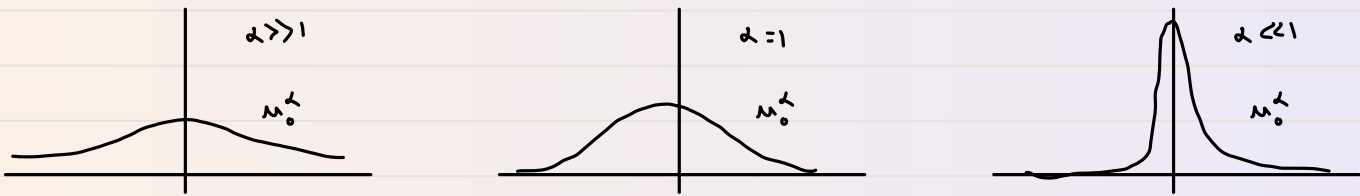
$$= \int_{z=\infty}^{\infty} G(t, z-y) m_n(y) dy + \int_{y=0}^{\infty} G(t, z-y) m_n(y) dy$$

$$= \int_{y=0}^{\infty} \underbrace{[G(t, z-y) + G(t, z+y)]}_{=: H(t, z, y)} m_n(y) dy$$

$$= \int_{y \in \mathbb{R}^+} \underbrace{H(t, z, y)}_{\substack{\text{S. fondamentale} \\ \text{donnée initiale}}} \underbrace{m_n(y)}_{\substack{\text{Intégrale} \\ \text{s. l. c.}}} dy$$

→ comme pour la chaleur dans \mathbb{R} , on a une formule de représentation de la solution...

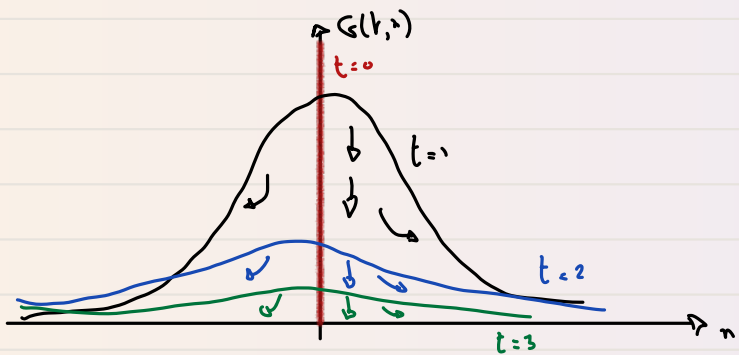
La solution fondamentale représente la densité d'une population initialement concentrée en un point : sur \mathbb{R} par exemple, si $m_0^\alpha(n) := \frac{1}{\sqrt{2\pi\alpha}} e^{-\frac{n^2}{2\alpha}}$



$\alpha \rightarrow 0 \Leftrightarrow m_0^\alpha = \text{approximation de l'unité} = \text{"Dirac"}$

$$\text{Alors } m^\alpha(t, n) = (G(t, \cdot) * m_0^\alpha)(n) \xrightarrow{\alpha \searrow 0} \underline{G(t, n)}$$

La Densité des individus si on les laisse tous en $n=0$



De la même manière pour le chaleur sur \mathbb{R}_+ avec Neumann,

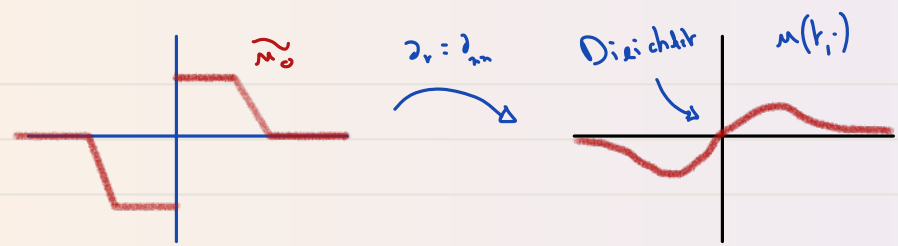
$$\tilde{H}(t, n, y_0) = \int_{y=0}^{\infty} H(t, n, y) \delta_{y_0}(y) dy \text{ représente la densité pour une donnée initialisée}$$

concentrée en $y_0 > 0 \dots$

Pour les conditions de Dirichlet, on prolonge de manière

$$\text{IMPARIÉ : } \tilde{m}_0(n) = \begin{cases} m_0(n) & \text{si } n > 0 \\ -m_0(-n) & \text{si } n < 0 \end{cases}$$

$$\Rightarrow \begin{bmatrix} \tilde{m}(t, \cdot) \text{ impaire} \\ \tilde{m}(t, \cdot) \text{ lisse (effet rég.)} \end{bmatrix} \Leftrightarrow \begin{bmatrix} \tilde{m}(t, 0) = 0 & \forall t > 0 \\ \text{(même si ça n'ilitre pas le cas à } t=0!) \end{bmatrix}$$



↳ En effet, puisque $m(r_i, t)$ continue, $m(t, h) \xrightarrow{h \rightarrow 0} m(r_i, 0)$
 $m(r_i - h) \xrightarrow{h \rightarrow 0} m(r_i, 0)$

donc $\frac{m(r, h) + m(r, -h)}{2} \xrightarrow{h \rightarrow 0} m(r, 0)$
 $= \frac{m(r, h) - m(r, -h)}{2} = 0 \quad \forall h > 0 \dots$

donc $m(t, 0) = 0 !$

↳ Solution fondamentale pour Dirichlet:

$$\tilde{m}(r, z) = - \int_{y=-\infty}^z G(r, z-y) m_0(y) dy + \int_{y=z}^{\infty} G(r, z-y) m_0(y) dy$$

$$= - \int_{z=0}^{\infty} G(r, z-y) m_0(y) dy + \int_{y=z}^{\infty} G(r, z-y) m_0(y) dy$$

$$= \int_{y=0}^{\infty} \underbrace{[G(r, z-y) - G(r, z+y)]}_{= 0 \text{ H}^0(r, z, y)} m_0(y) dy$$

↳ La solution fondamentale

↳ Noter que si " $m_0 = \sum_{n=0}^{\infty}$ ", alors $m(r, n) = 0 \quad \forall t > 0, \forall n \in \mathbb{N}$

(On fait immédiatement sortir tout le monde)

↳ Vitesse de décroissance L^∞ : Pour la chaleur, on avait

$$\|u(r, \cdot)\| \leq \int_{\mathbb{R}} |G(r, x-y)u_0(y)| dy \leq \|G(r, \cdot)\|_{L^\infty} \cdot \|u_0\|_{L^1(\mathbb{R})}$$

(la masse)

$$\text{et } \|G(r, \cdot)\|_{L^\infty} = \left\| \frac{1}{\sqrt{\pi r}} e^{-\frac{x^2}{4r}} \right\|_{L^\infty(\mathbb{R})} = \frac{1}{\sqrt{\pi r}} = \frac{C}{\sqrt{t}}$$

$$\hookrightarrow \text{Donc } \|u(r, \cdot)\|_{L^\infty} \lesssim \frac{1}{\sqrt{t}}$$

a(r) \leq b(r) \quad \text{ssi} \quad \exists c > 0 \text{ indépendant}

de t
de t
a(t) \leq c b(t)

↳ Pour Neumann:

$$|H''(r, n, y)| = \frac{1}{\sqrt{\pi r}} \left[\underbrace{e^{-\frac{(n-y)^2}{4r}}}_{\leq 1} + \underbrace{e^{-\frac{(n+y)^2}{4r}}}_{\leq 1} \right] \leq \frac{2}{\sqrt{\pi r}} \leq \frac{1}{\sqrt{t}}$$

↳ Pour Dirichlet

$$|H^0(r, n, y)| = \frac{1}{\sqrt{\pi r}} \left| e^{-\frac{(n-y)^2}{4r}} - e^{-\frac{(n+y)^2}{4r}} \right|$$

Accroissement

$$\leq \frac{2|y|}{\sqrt{\pi r}} \sup_{\{z \in (n \pm y)\}} \left| \frac{z^2}{2r} e^{-\frac{z^2}{4r}} \right|$$

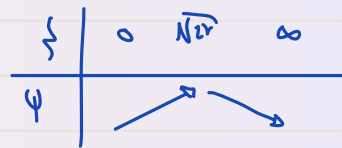
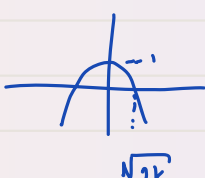
Finis :

$$|\psi(b) - \psi(a)| \leq |b-a| \cdot \|\psi'\|_{L^\infty} \leq \frac{|y|}{\sqrt{\pi} t^{3/2}} \sup_{s \in \mathbb{R}} \left| \underbrace{\left(\frac{s}{c} \right)^{-\frac{1^2}{4r}}}_{\Psi(s)} \right|$$

$$\hookrightarrow \psi(x) = \frac{x}{c}^{-\frac{x^2}{4r}}$$

$$\psi'(x) = \frac{x}{2r} c^{-\frac{x^2}{4r}}$$

$$\psi'(s) = \underbrace{\left(1 - \frac{1^2}{2r} \right)}_{\psi''(s)} \frac{s^2}{c^{-\frac{1^2}{4r}}} = \frac{s^2}{c^{-\frac{1^2}{4r}}}$$



$$\hookrightarrow \text{D'où } |\psi(t)| \leq |\psi(\sqrt{2r})| = \sqrt{2r} e^{-\frac{2r}{4r}} = \sqrt{2r} e^{-\frac{1}{2}}$$

$$\text{D'où } |H^0(r, \gamma, y)| \lesssim \frac{|y|}{N\pi t^{3/2}} \sqrt{2r} \times \frac{1}{\sqrt{c}} = \sqrt{\frac{2}{\pi}} |\gamma| \cdot \frac{1}{t} \lesssim \frac{1}{t}$$

\downarrow
En instantanément
si $y=0$...

\hookrightarrow Monatriti : Neumann ($\|u(r, \cdot)\|_{L^\infty} \lesssim \frac{1}{\sqrt{t}}$) vs. Dirichlet ($\|u(r, \cdot)\|_{L^\infty} \lesssim \frac{1}{t}$) :

\hookrightarrow On décrit + riche avec Dirichlet qu'avec Neumann

\hookrightarrow Le "coût de sortie" se paie par un $\times \frac{1}{\sqrt{t}}$ en norme infinie...

\hookrightarrow Analogie à ajouter une dimension d'espace ($\|u(r, \cdot)\|_{L^\infty} \lesssim \frac{1}{t^{N+1}}$)